

تحلیل امنیتی دو پروتکل تبادل کلید احراز اصالت شده در شبکه هوشمند انرژی

سید حمید باغستانی^۱، فرخ لقا معظمی گودرزی^۲

^۱دانشجوی کارشناسی ارشد پژوهشکده فضای مجازی دانشگاه شهید بهشتی، seyedhamid.baghestani@gmail.com

^۲استادیار پژوهشکده فضای مجازی دانشگاه شهید بهشتی، f_moazemi@sbu.ac.ir

چکیده - امروزه با مصرف بیش از حد انرژی، علم مهندسی، همواره به دنبال دست‌یابی به روش‌هایی برای مدیریت بهینه مصرف انرژی و جلوگیری از هدر رفت آن است. یکی از راهکارهای مفید در امر مدیریت مصرف انرژی ادغام شبکه انرژی با فناوری IT است، برای اینکه بین تولیدکنندگان و مصرف‌کنندگان انرژی داده ردوبدل گردد. به چنین شبکه‌ای شبکه هوشمند انرژی گفته می‌شود. این انتقال داده باید در بستری امن صورت پذیرد و آسیب‌پذیری این بستر می‌تواند حریم خصوصی شهروندانی که از شبکه هوشمند استفاده می‌کنند را به خطر اندازد و یا خسارات سنگینی به شبکه وارد نماید. تاکنون پروتکل‌های زیادی برای ایجاد بستری مناسب برای انتقال امن اطلاعات در محیط شبکه هوشمند طراحی شده است که هر کدام از آن‌ها دارای مشکلاتی هستند که هنوز مسئله را برای کار در این بستر باز نگه داشته‌اند. اخیراً پارادیم کومار و همکارانش و همچنین نراج کومار و همکارانش دو پروتکل تبادل کلید احراز اصالت شده را پیشنهاد کردند و نشان دادند که پروتکل‌های پیشنهادی آن‌ها در برابر حملات امنیتی مختلف امن است. با این حال، در این مقاله ما نشان می‌دهیم که پروتکل پارادیم کومار، خاصیت گمنام بودن افزاره‌های هوشمند را به خوبی حفظ نمی‌کند و در برابر حمله ردگیری افزاره‌ها آسیب‌پذیر است و پروتکل نراج کومار، در برابر حمله منع سرویس آسیب‌پذیر است.

کلید واژه- احراز اصالت متقابل، تبادل کلید، شبکه هوشمند انرژی، گمنامی، حمله منع سرویس

حریم خصوصی مشتریان شود [5]. بنابراین برقراری امنیت از فاکتورهای اساسی در طراحی شبکه هوشمند است. یکی از نیازمندی‌های اصلی برای دست‌یابی به بستر امن در محیط شبکه هوشمند، ارسال داده‌ها به صورت رمز شده است که برای دست‌یابی به آن نیازمند احراز اصالت متقابل و توزیع یک کلید نشست هستیم.

از مهم‌ترین چالش‌های اساسی که طراحان پروتکل‌های امنیتی در بستر شبکه هوشمند با آن مواجه هستند محدود بودن منابع محاسباتی و حافظه به‌ویژه در سمت افزاره‌های اندازه‌گیری هوشمند است. از این رو طراحان باید در نظر داشته باشند پروتکلی که ارائه می‌دهند علاوه بر برآورده کردن نیازهای امنیتی تا جای ممکن سبک طراحی گردند [6]. ارائه یک پروتکل احراز اصالت و تبادل کلید به صورت توأم نسبت به دو پروتکل احراز اصالت و تبادل کلید جدا، هم سبک‌تر بوده و هم نشت اطلاعات کمتری دارد [7]. بنابراین طراحان پروتکل‌های توزیع کلید احراز اصالت شده توجه محققان زیادی را به خود جلب کرده است.

در طرح‌های ارائه‌شده معمولاً پروتکل تبادل کلید احراز اصالت شده متقابل دارای سه فاز راه‌اندازی، ثبت و فاز احراز اصالت و تبادل کلید است که در فاز راه‌اندازی مقادیر و توابع مورد استفاده مانند تابع‌های چکیده ساز، گروه، میدان، مولدها مشخص و به صورت عمومی

۱- مقدمه

شبکه هوشمند در حال تبدیل شدن به شبکه برق نسل بعدی است و توزیع برق قابل اعتماد برای میلیون‌ها مشتری را به صورت خودکار امکان‌پذیر می‌کند [1]. برخلاف شبکه سنتی، شبکه هوشمند اجازه می‌دهد تا یک جریان دوطرفه از انرژی و اطلاعات برای کنترل بهینه تولید و مصرف انرژی ایجاد گردد و همچنین به مصرف‌کنندگان این امکان را می‌دهد تا به صورت لحظه‌ای از میزان انرژی مصرفی خود و هزینه آن مطلع گردند [2]. همچنین این امکان را به تولیدکنندگان انرژی می‌دهد تا به نسبت بار موجود در شبکه تعرفه‌های مصرفی را به صورت پویا تغییر دهند. در شبکه هوشمند، افزاره‌های اندازه‌گیری هوشمند، وظیفه اندازه‌گیری دقیق میزان مصرف مشترکین را بر عهده دارند. زیرساخت اندازه‌گیری هوشمند (AMI) یکی از زمینه‌های کاربردی مهم این شبکه‌ها است که به ارزیابی وضعیت شبکه برق برای مدیریت بهینه منابع توزیع شده کمک می‌کند [3,4].

با توجه به تمام فواید ذکرشده، با این حال، داده‌های منتقل شده در ارتباطات شبکه هوشمند به سطح ترابایت رسیده و سوءاستفاده از قرائت افزاره‌های اندازه‌گیری هوشمند ممکن است منجر به نشت

افزاره اندازه‌گیری هوشمند و دروازه همسایگی (NAN)^۸ برای بستر شبکه هوشمند به نام LAKA توسط پاردرپ کومار و همکارانش ارائه شد [13]. در این طرح از NAN به عنوان TA^۹ استفاده شده است که از مزایای این طرح محسوب می‌شود؛ به این معنی که پارامترهای مرحله ثبت افزاره‌ها، توسط NAN محاسبه می‌شود. در این طرح از رمزنگاری مبتنی بر خم بیضوی به همراه رمزنگاری متقارن AES و همچنین از MAC استفاده شده است. این نامتجانس بودن توابع رمزنگاری باعث می‌شود که حجم حافظه زیادی برای پیاده‌سازی توابع مختلف اشغال شود. همچنین ما دریافتیم برخلاف ادعای طراحان، طرح ارائه‌شده به‌خوبی گمنامی را برآورده نمی‌کند و با توجه به آشکار بودن شناسه NAN برای افزاره‌های عضو در شبکه، یک افزاره خرابکار می‌تواند بقیه افزاره‌ها را ردگیری^{۱۰} کرده و تشخیص دهد آیا دو نشست متعلق به یک افزاره هوشمند است یا خیر.

در سال ۲۰۱۹ نراج کومار و همکارانش یک پروتکل احراز هویت و توزیع کلید مبتنی بر خم بیضوی برای بستر شبکه هوشمند بین افزاره اندازه‌گیری هوشمند و ارائه‌دهنده خدمات طراحی کرده‌اند [14]. ما دریافتیم پروتکل ارائه‌شده در گام دوم هیچ‌گونه بررسی روی صحت و سقم پیام‌های دریافتی انجام نمی‌دهد و همین امر موجب اعمال حمله منع سرویس به پروتکل خواهد شد.

۳- بررسی طرح پاردرپ کومار و همکاران

طرح LAKA شامل سه فاز است. (۱) فاز راه‌اندازی، (۲) فاز ثبت افزاره و (۳) فاز احراز اصالت و تبادل کلید. نمادهای بکار رفته در این طرح مطابق با جدول ۱ آورده شده است.

جدول ۱: نمادهای طرح LAKA [13]

Symbols	Descriptions
N_{ID}	Neighborhood Area Network (NAN) identity
SM_{ID}	Smart meter identity
ST, id_{ST}	Secret token and its identity
$E_K[ms]$	Encrypt ms using key (K)
$D_K[ms]$	Decrypt ms using key (K)
p, n	Large prime numbers
F_q	A finite field
E	Elliptic curve defined on finite field F_q with prime order n
G	Group of elliptic curve points on E
P	A point on elliptic curve E with order n
$H(.)$	One-way hash function (e.g., SHA-1, SHA-2, MD5, etc.)
$MAC, $	Message authentication code, and concatenation operation
ϕ, ϕ_N	SM's and NAN's pseudo random numbers, respectively

اعلام می‌شوند. در فاز ثبت طرفین اجرایی پروتکل باید خود را در شبکه ثبت کنند. این فاز معمولاً به کمک یک کانال امن صورت می‌گیرد و پارامترهای خصوصی طرفین تولید و در اختیارشان قرار داده می‌شود. فاز احراز هویت و توزیع کلید نیز فازی است که طرفین پروتکل به کمک اطلاعاتی که از دو فاز قبل در اختیاردارند قادر خواهند بود خود را برای طرف مقابل احراز اصالت کرده و یک کلید نشست به اشتراک بگذارند [8].

در این مقاله ابتدا در بخش ۲ برخی از کارهای انجام‌شده در این زمینه را بررسی می‌کنیم. در بخش ۳ به معرفی پروتکل پاردرپ کومار^۱ خواهیم پرداخت و در بخش ۴ حمله اعمال‌شده را شرح می‌دهیم. در بخش ۵ به معرفی پروتکل نراج کومار^۲ خواهیم پرداخت و حمله اعمال‌شده به این طرح را نیز در بخش ۶ شرح می‌دهیم. و در آخر در بخش ۷ یک جمع‌بندی از مقاله ارائه می‌دهیم.

۲- کارهای پیشین

با توجه به تمام نیازهای مطرح‌شده تسای^۳ و همکارش طرحی به کمک خواص جفت‌های دوسویی^۴ ارائه دادند که از مزایای آن گمنامی شناسه افزاره هوشمند است [9]. اما به دلیل بالا بودن هزینه محاسباتی جفت‌های دوسویی، روش ارائه‌شده برای اجرا بر روی بستر شبکه هوشمند با منابع محدود بهینه نیست. همچنین این طرح در مدل CK-Adversary [10] امن نبود و با نشست مقدار تصادفی، کلید نشست فاش می‌شد. برای جلوگیری از بار سنگین محاسباتی جفت‌های دوسویی خلید محمود^۵ و همکارانش یک طرح توافق کلید به کمک خم‌های بیضوی ارائه دادند [11]. برخلاف ادعای ارائه‌کنندگان این طرح که آن را بسیار مناسب برای پیاده‌سازی بر روی تجهیزات شبکه‌های هوشمند می‌دانند، طرح گمنام بودن تجهیزات را در نظر نگرفته است و شناسه تجهیزات نیز به راحتی توسط مهاجم قابل دسترسی است. از آنجایی که طرح آن‌ها نیز در مدل CK-Adversary امن نبود، نیکوقدم^۶ و عباسی نژاد^۷ در طرح [12] یک حمله به آن اعمال کردند که در این حمله با نشست مقدار تصادفی تولیدشده، کلید نشست آشکار می‌شد. در این طرح در مرحله ثبت تجهیزات در TA محاسبات زیادی برای تولید پارامترهای امنیتی صورت می‌گیرد که با وجود انجام محاسبات زیاد، همچنان راهکاری برای مخفی نگه‌داشتن شناسه افزاره‌ها دیده نشده است.

در سال ۲۰۱۸ یک طرح احراز اصالت دوطرفه و توافق کلید بین

^۱ M.Nikooghadam

^۲ D.Abbasinezhad

^۳ Neighbourhood Area Network

^۴ Trusted Authority

^۵ Trace

^۱ Pardeep Kumar

^۲ Neeraj Kumar

^۳ L.Tsai

^۴ Bilinear paring

^۵ Kh. Mahmood

۳-۱- فاز راه اندازی

در این طرح دروازه NAN، به عنوان یک نهاد قابل اعتماد، وظایف یک TA برون خط^{۱۱} را از قبیل اختصاص پارامترهای امنیتی و اختصاص هویت به افزارهای هوشمند، به صورت امن انجام می دهد. در این مرحله، دروازه همسایگی NAN پارامترهای امنیتی را به شرح زیر تنظیم می کند.

NAN یک منحنی بیضوی E و یک نقطه P از مرتبه n را روی منحنی E انتخاب می کند. یک کلید اصلی با آنتروپی بالا M_k و کلید عمومی $P_s = M_k P$ تولید می کند. سپس یک تابع چکیده ساز امن یک طرفه را انتخاب کرده (به عنوان مثال، H(O)) و در انتها، M_k را در پایگاه امن خود ذخیره می کند و $\{H(O), n, E, P, F_p, P_s\}$ را منتشر می کند.

۳-۲- فاز ثبت افزارهای هوشمند

افزارهای اندازه گیری هوشمند باید قبل از شرکت در نشست در دروازه NAN ثبت شوند و پارامترهای امنیتی را به شرح زیر دریافت کنند.

برای هر افزار هوشمند (مثلاً J_j)، NAN یک شناسه مخفی و منحصر به فرد (SM_{ID_j}) و یک کلید مخفی ST_j را با شناسه آن (id_{ST_j}) تولید و اختصاص می دهد. از SM_{ID_j} برای محاسبه $\sigma_j = H(SM_{ID_j})$ و کلید عمومی $SM_{pub_j} = (\sigma_j + M_k)P = \sigma_j P + P_s$ استفاده می کند. سپس از کلید اصلی M_k برای محاسبه کلید خصوصی مربوط به SM یعنی $SM_{pr_j} = \frac{1}{M_k + \sigma_j} \cdot p \in G$ استفاده می کند سرانجام NAN تمام پارامترهای امنیتی $\{\sigma_j; H(O); id_{ST_j}; ST_j; n; E; P; F_p; P_s\}$ را در حافظه امن افزار ذخیره می کند. علاوه بر این، دروازه NAN همچنین SM_{ID_j} و N_{ID} را در حافظه امن افزار قرار می دهد تا بتواند دروازه NAN مربوطه را تشخیص دهد. سرانجام، دروازه NAN کلیه پارامترها را در پایگاه داده خود نگه می دارد تا سوابق افزار مستقر را نگه دارد.

۳-۳- فاز احراز اصالت متقابل و تبادل کلید

برای دستیابی به اهداف LAKA، یعنی احراز اصالت سبک و تبادل یک کلید، روند فاز در شکل ۱ نشان داده شده است.

گام اول: SM به صورت تصادفی $u_{SM_j} \in Z_n^*$ را انتخاب کرده و $B_{SM_j} = u_{SM_j} \cdot SM_{pr_j}$ و $A_{SM_j} = u_{SM_j} \cdot P$ را محاسبه می کند. سپس افزار SM، $L1 = H(SM_{ID_j} \parallel N_{ID} \parallel A_{SM_j} \parallel B_{SM_j} \parallel T1)$ و $Q1 = E_{ST_j}[SM_{ID_j}, N_{ID}, T1]$ را محاسبه می کند که $T1$ بیانگر مهر

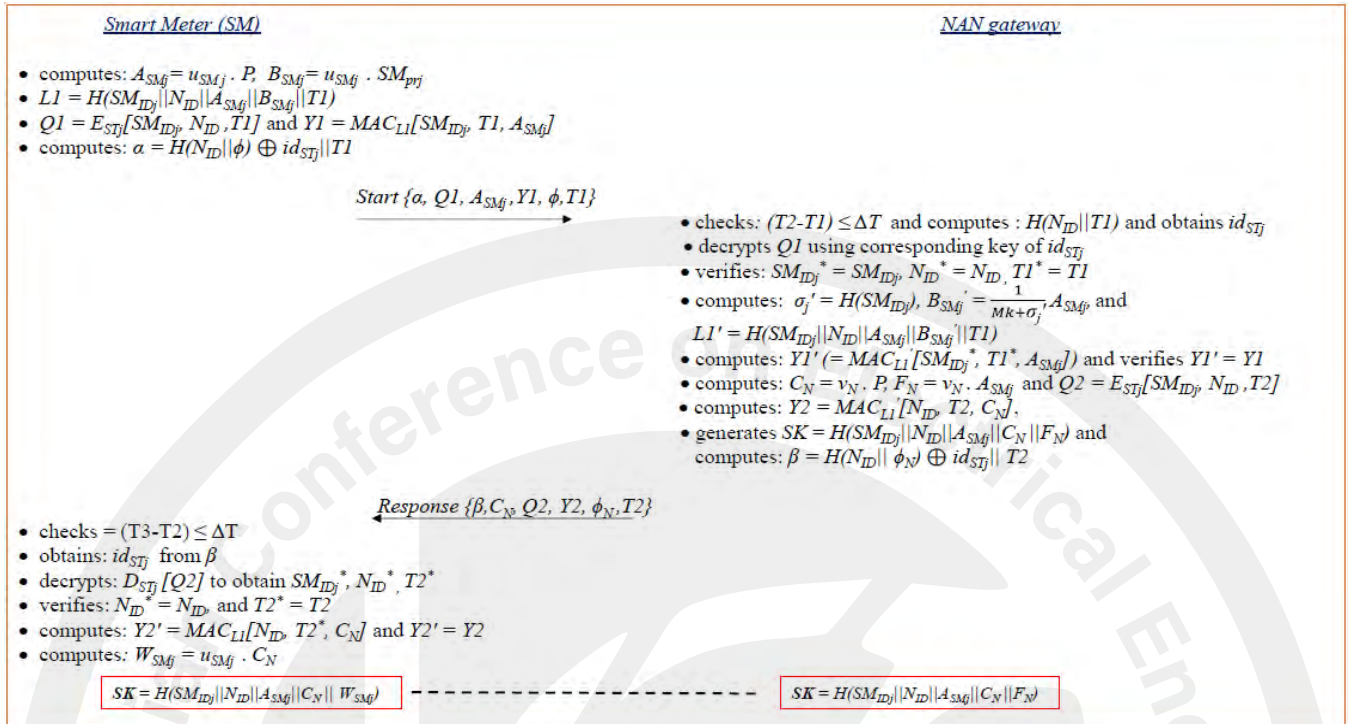
زمانی فعلی SM است. به منظور ارائه یکپارچگی پیام، افزار هوشمند، $Y1 = MAC_{L1}[SM_{ID_j}, T1, A_{SM_j}]$ را محاسبه می کند. سپس SM، عدد تصادفی ϕ را ایجاد کرده و $\alpha = H(N_{ID} \parallel \phi) \oplus id_{ST_j} \parallel T1$ را محاسبه می کند. در آخر پیام شروع را به NAN ارسال می کند که شامل $\{\alpha, Q1, A_{SM_j}, Y1, \phi, T1\}$ می باشد.

گام دوم: NAN پس از دریافت پیام، ابتدا اعتبار مهر زمانی را با استفاده از $\Delta T \leq (T2 - T1)$ بررسی می کند و در صورت عدم تطابق، سیستم را متوقف می کند. $T2$ بیانگر مهر زمان فعلی NAN است و ΔT تأخیر انتقال است. در غیر این صورت، $H(N_{ID} \parallel \phi)$ را محاسبه کرده و id_{ST_j} را از α به دست می آورد و کلید مربوط به آن یعنی ST_j را از پایگاه داده خود دریافت کرده و به کمک آن $D_{ST_j}[Q1]$ را رمزگشایی کرده و ($SM_{ID_j}^* = SM_{ID_j}$ ، $N_{ID}^* = N_{ID}$ و $T1 = T1^*$) را بررسی می کند. اگر تأیید نشود، درخواست را متوقف می کند. در غیر این صورت NAN، $B'_{SM_j} = \frac{1}{M_k + \sigma_j} A_{SM_j}$ ، $\sigma'_j = H(SM_{ID_j})$ و به کمک آن ها $L1' = H(SM_{ID_j} \parallel N_{ID} \parallel A_{SM_j} \parallel B'_{SM_j} \parallel T1)$ را محاسبه کرده و در ادامه، $Y1' = MAC_{L1'}[SM_{ID_j}, T1, A_{SM_j}]$ را محاسبه می کند. سپس $Y1' = Y1$ را بررسی می کند اگر درست بود، گام بعدی را انجام می دهد.

گام سوم: دروازه NAN یک عدد تصادفی $v_N \in Z_n^*$ را انتخاب می کند. $C_N = v_N \cdot P$ و $F_N = v_N \cdot A_{SM_j}$ را محاسبه کرده و سپس $Q2 = E_{ST_j}[SM_{ID_j}, N_{ID}, T2]$ و $Y1' = MAC_{L1'}[N_{ID}, T2, C_N]$ را محاسبه می کند که در اینجا، $T2$ بیانگر مهر زمان فعلی NAN است. NAN، کلید جلسه $SK = H(SM_{ID_j} \parallel N_{ID} \parallel A_{SM_j} \parallel C_N \parallel F_N)$ را ایجاد می کند. سرانجام، یک عدد تصادفی ϕ_N را تولید می کند و $\beta = H(N_{ID} \parallel \phi_N) \oplus id_{ST_j} \parallel T2$ را محاسبه کرده و پیام پاسخ $\{\beta, Q2, C_N, Y2, \phi_N, T2\}$ را ارسال می کند.

گام چهارم: SM، $\Delta T \leq (T3 - T2)$ ، را چک می کند در صورت منفی بودن نتیجه تأیید مهر زمانی، جلسه را به پایان می رساند. در غیر این صورت، id_{ST_j} را از β به دست می آورد، $D_{ST_j}[Q2]$ را رمزگشایی می کند تا $SM_{ID_j}^*$ و N_{ID}^* را مشاهده کند و $N_{ID}^* = N_{ID}$ و $T2 = T2^*$ را بررسی می کند. اگر شرایط صحیح نباشد، جلسه را خاتمه می دهد. در غیر این صورت، $Y2' = MAC_{L1}[N_{ID}, T2^*, C_N]$ را محاسبه کرده و $Y2' = Y2$ را بررسی می کند، اگر شرط صحیح باشد، جلسه را ادامه می دهد. در غیر این صورت NAN یک نهاد قانونی نیست. سرانجام SM، $W_{SM_j} = u_{SM_j} \cdot C_N$ ، $SK = H(SM_{ID_j} \parallel N_{ID} \parallel A_{SM_j} \parallel C_N \parallel F_N)$ را به منظور برقراری ارتباط با دروازه همسایگی NAN تولید می کند.

^{۱۱} offline



شکل ۱: فاز تبادل کلید و احراز اصالت متقابل طرح [13] LAKA

(۲) ، شناسه کلید id_{STj} را به دست آورد و مطابق روش گفته شده افزاره را ردگیری کرد.

$$\beta = H(N_{ID} || \phi_N) \oplus id_{STj} || T2 \quad (۲)$$

۵- بررسی طرح نراج کومار و همکاران

این طرح شامل چهار فاز است. (۱) فاز راه اندازی، (۲) فاز ثبت افزارها، (۳) فاز ثبت ارائه دهندگان خدمات و (۴) فاز احراز اصالت و تبادل کلید. نمادهای بکار رفته در این طرح در جدول ۲ آورده شده است.

جدول ۲: نمادهای طرح نراج کومار [14]

Symbol	Description
TA	Trusted authority
SD_i	i^{th} SG device
ID_i	Unique identity of SD_i
UC_j	j^{th} utility or remote control center
ID_j	Unique identity of UC_j
A	Adversary
$h(\cdot)$	Collision-resistant one-way cryptographic hash function
p	A large prime number
Z_p	$Z_p = \{0, 1, \dots, p-1\}$, a finite field
$E_p(a, b)$	A non-singular elliptic curve $y^2 = x^3 + ax + b \pmod{p}$ over finite field Z_p with $4a^3 + 27b^2 \neq 0 \pmod{p}$
G	A base point on $E_p(a, b)$
$k.G$	An elliptic curve point multiplication; $k \in Z_p^*$ being a scalar and $G \in E_p(a, b)$
x	Secret key of the TA
Q	$Q = x.G$, the public key of the TA
T_1, T_2, T_3	Current system timestamps
RTS_i, RTS_j	Registration timestamps of SD_i and UC_j , respectively
ΔT	Maximum transmission delay
SK_{ij}	Session key between SD_i and UC_j
$\oplus, $	Bitwise XOR and concatenation operations, respectively

۵-۱- فاز راه اندازی

در این طرح TA به عنوان یک نهاد قابل اعتماد بوده و به صورت

۴- اعمال حمله ردگیری افزاره های اندازه گیری هوشمند

روش اعمال این حمله طبق چند مرحله زیر توضیح داده می شود. مرحله ۱: مهاجم پیام های ارسالی α و ϕ و $T1$ در گام اول اجرای طرح که از افزاره هوشمند به سمت دروازه همسایگی NAN فرستاده شده را شنود می کند.

مرحله ۲: مهاجم برای اعمال این حمله نیاز به شناسه NAN یعنی N_{ID} دارد که این شناسه در اختیار تمام افزاره های عضو در شبکه قرار داده می شود. بنابراین برای دستیابی به N_{ID} مهاجم می تواند یک افزاره خودی و عضو در شبکه باشد یا باهدف اعمال این حمله و ردگیری افزاره های دیگر، به راحتی در شبکه عضو گردد.

مرحله ۳: مهاجم با استفاده از α ، ϕ ، $T1$ ، N_{ID} و با کمک رابطه (۱) می تواند به راحتی شناسه کلید STj یعنی id_{STj} را به دست آورد.

$$\alpha = H(N_{ID} || \phi) \oplus id_{STj} || T1 \quad (۱)$$

مرحله ۴: مهاجم با به دست آوردن id_{STj} با توجه به این که این مقدار توسط NAN در مرحله ثبت تجهیز در اختیار افزاره قرار داده می شود و در تمام نشست های مربوط به افزاره زام و NAN مقدار ثابتی دارد، موجب ردگیری افزاره توسط مهاجم خواهد شد.

مشابه همین حمله را می توان در گام چهارم نیز انجام داد و مهاجم می تواند با شنود پیام ارسالی از طرف دروازه NAN، یعنی پیام پاسخ و در اختیار داشتن مقادیر β ، ϕ_N ، $T2$ ، N_{ID} و به کمک رابطه

می‌سازد. بعد از آن، $W_j = v.U_i = (uv).G$ و $V_j = v.G$ را محاسبه کرده و کلید جلسه $SK_{ij} = h(W_j || D_j || h(RID_j || TC_j || T_2))$ را محاسبه می‌کند. سپس مقادیر $SKV_{ij} = h(SK_{ij} || RID_i || T_2)$ و $Z_j = h(RID_j || TC_j || T_2) \oplus h(RID_i || U_i || V_j || T_2)$ را محاسبه کرده و پیام پاسخ تأیید اصالت $\{V_j, Z_j, SKV_{ij}, T_2\}$ را به SD_i از طریق کانال عمومی ارسال می‌کند.

گام چهارم: SD_i بعد از دریافت پیام با بررسی $(T_2 - T_2^*) \leq \Delta T$ ، مهر زمانی T_2 در پیام را تأیید می‌کند. اگر شرط برقرار نباشد، فاز خاتمه می‌یابد. در غیر این صورت، SD_i عبارات E_i, W'_i ، و کلید جلسه مشترک با UC_j را به کمک روابط (۱)، (۲) و (۳) محاسبه می‌کند.

$$E_i = Z_j \oplus h(RID_i || U_i || V_j || T_2) = h(RID_i || TC_j || T_2) \quad (1)$$

$$W'_i = u.V_j = (uv).G \quad (2)$$

$$SK'_{ij} = h(W'_i || h(TC_j || T_1) || E_i) (= SK_{ij}) \quad (3)$$

در ادامه SD_i ، $SKV'_{ij} = h(SK'_{ij} || RID_i || T_2)$ را محاسبه و $SKV'_{ij} = SKV_{ij}$ را بررسی می‌کند. در صورت عدم برقراری شرط، فاز فوراً خاتمه می‌یابد. در غیر این صورت، SD_i همچنان به تولید مهر زمانی فعلی T_3 و محاسبه $SKV^*_{ij} = h(SK'_{ij} || RID_i || V_j || T_3)$ می‌پردازد. سپس پیام تأیید اعتبار احراز اصالت $\{SKV^*_{ij}, T_3\}$ را از طریق کانال عمومی به UC_j ارسال می‌کند.

گام پنجم: پس از دریافت پیام در زمان T_3 ، UC_j اعتبار مهر زمانی T_3 را با شرط $(T_3 - T_3^*) \leq \Delta T$ بررسی می‌کند و در صورت عدم برقراری شرط مذکور، UC_j فاز را خاتمه می‌دهد. در غیر این صورت تساوی $SKV^*_{ij} = SKV_{ij}$ برقرار باشد، SD_i را محاسبه می‌کند و اگر $SK_{ij} = SK'_{ij}$ را برای ارتباطات امن آینده خود ذخیره می‌کنند.

SG device (SD_i)	UC_j
Select random secret $u \in Z_p^*$. Generate current timestamp T_1 . Calculate $U_i = u.G, C_i = h(TC_i T_1)$. $\langle U_i, C_i, T_1 \rangle$ (via public channel)	Verify if $ T_1 - T_1^* \leq \Delta T$? If so, calculate $D_j = C_i \oplus h(RID_i U_i T_1)$. Generate current timestamp T_2 , random secret $v \in Z_p^*$ & compute $V_j = v.G, W_j = v.U_i = (uv).G$, $SK_{ij} = h(W_j D_j h(RID_j TC_j T_2))$, $SKV_{ij} = h(SK_{ij} RID_i T_2)$, $Z_j = h(RID_j TC_j T_2) \oplus h(RID_i U_i V_j T_2)$. $\langle V_j, Z_j, SKV_{ij}, T_2 \rangle$ (via public channel)
Check if $ T_2 - T_2^* \leq \Delta T$? Compute $E_i = Z_j \oplus h(RID_i U_i V_j T_2) = h(RID_i TC_j T_2)$. $W'_i = u.V_j = (uv).G$, $SK'_{ij} = h(W'_i h(TC_j T_1) E_i)$, $SKV'_{ij} = h(SK'_{ij} RID_i T_2)$. Check if $SKV'_{ij} = SKV_{ij}$? If so, generate current timestamp T_3 and compute $SKV^*_{ij} = h(SK'_{ij} RID_i V_j T_3)$. $\langle SKV^*_{ij}, T_3 \rangle$ (via public channel) Store session key $SK'_{ij} (= SK_{ij})$.	Check if $ T_3 - T_3^* \leq \Delta T$? If so, calculate $SKV^*_{ij} = h(SK_{ij} RID_i V_j T_3)$. Verify if $SKV^*_{ij} = SKV_{ij}$? Store session key $SK_{ij} (= SK'_{ij})$.

شکل ۲: احراز اصالت و تبادل کلید طرح [14]

برون خطی قبل از شروع نشست، توابع و پارامترهای لازم را برای احراز اصالت و تبادل یک کلید در اختیار طرفین پروتکل قرار می‌دهد. در این فاز TA خم بیضوی E و یک نقطه G از مرتبه n را روی خم E انتخاب کرده و یک کلید اصلی x و کلید عمومی $Q = x.G$ تولید می‌کند. سپس یک تابع چکیده ساز امن یک طرفه را انتخاب می‌کند (به‌عنوان مثال، HO) و در انتها، x را در حافظه امن خود ذخیره کرده و $\{HO, n, E, G, F_G, Q\}$ را منتشر می‌کند.

۵-۲- فاز ثبت افزاره‌های هوشمند

به‌عنوان مثال برای ثبت افزاره i ام یعنی SD_i ($i = 1, 2, \dots, l$)، که ۱ تعداد دستگاه‌های مستقر در محیط شبکه هوشمند است، فاز ثبت به این صورت انجام می‌گیرد که TA به‌عنوان یک نهاد قابل اعتماد یک شناسه منحصر به فرد ID_i انتخاب کرده و شناسه مستعار $RID_i = h(ID_i || x)$ و گواهینامه زمانی $TC_i = h(x || RTS_i)$ را محاسبه می‌کند که RTS_i زمان ثبت SD_i است. سپس TA اطلاعات فوق را در حافظه امن SD_i قرار می‌دهد.

۵-۳- فاز ثبت ارائه‌دهندگان خدمات

این فاز نیز دقیقاً مانند فاز ثبت افزاره‌ها است و TA برای زامین ارائه‌دهنده خدمات یعنی UC_j ، ID_j را انتخاب کرده و RID_j را محاسبه می‌کند. با این تفاوت که TA شناسه‌های مستعار تمام افزاره‌های مستقر در شبکه هوشمند و ثبت شده در TA که در فاز قبل ایجاد شدند را نیز در حافظه امن ارائه‌دهنده خدمات ثبت می‌کند.

۵-۴- فاز احراز اصالت متقابل و توزیع کلید

در این فاز، یک افزاره اندازه‌گیری هوشمند (SD_i) و یک ارائه‌دهنده خدمات (UC_j)، یکدیگر را مطابق شکل ۲ احراز اصالت کرده و یک کلید مشترک را به اشتراک می‌گذارند.

گام اول: SD_i مقدار تصادفی $u \in Z_p^*$ را انتخاب کرده و $U_i = u.G$ و $C_i = h(TC_i || T_1) \oplus h(RID_i || U_i || T_1)$ را محاسبه می‌کند. سپس مهر زمانی فعلی T_1 را تولید کرده و پیام $\{U_i, C_i, T_1\}$ را از طریق کانال عمومی به UC_j ارسال می‌کند.

گام دوم: پس از دریافت پیام با بررسی $(T_1 - T_1^*) \leq \Delta T$ ، مهر زمانی T_1 را در پیام تأیید می‌کند، جایی که ΔT حداکثر تأخیر در انتقال و T_1^* زمان دریافت پیام توسط UC_j است. اگر شرط برقرار باشد، UC_j ، $D_j = C_i \oplus h(RID_i || U_i || T_1)$ را با استفاده از RID_i مربوط به افزاره i ام که در پایگاه داده خود ذخیره کرده، محاسبه می‌کند که در اصل با توجه به عبارت C_i ، عبارت D_j برابر $h(TC_i || T_1)$ می‌شود.

گام سوم: سپس UC_j مهر زمان فعلی T_2 و مقدار تصادفی $v \in Z_p^*$

مراجع

- [1] Liehuang Zhu, Meng Li, Zijian Zhang, Chang Xu, Ruonan Zhang, Xiaojiang Du, Nadra Guizani, "Privacy-Preserving Authentication and Data Aggregation for Fog-Based Smart Grid" *IEEE Communications Magazine*, Vol. 57, pp. 80 - 85, 2019.
- [2] Wenye Wang, Zhuo Lu, "Cyber security in the Smart Grid: Survey and challenges" *Computer Networks*, Vol. 57, pp. 1344-1371, 2013.
- [3] Pardeep Kumar, Yun Lin, Guangdong Bai, Andrew Paverd, Jin Song Dong, Andrew Martin, "Smart Grid Metering Networks: A Survey on Security, Privacy and Open Research Issues" *IEEE Communications Surveys & Tutorials*, Vol. 21, and Issue: 3 pp. 2886 - 2927, 2019.
- [4] Muhammad Rizwan Asghar, György Dán, Daniele Miorandi, Imrich Chlamtac, "Smart Meter Data Privacy: A Survey" *IEEE Communications Surveys & Tutorials*, Vol. 19, Issue: 4, pp. 2820-2835, 2017.
- [5] Vanga Odelu, Ashok Kumar Das, Mohammad Wazid, Mauro Conti, "Provably Secure Authenticated Key Agreement Scheme for Smart Grid" *IEEE Transactions on Smart Grid*, Vol. 9, Issue: 3, pp. 1900-1910, 2016.
- [6] Yuwen Chen, José-Fernán Martínez, Pedro Castillejo, Lourdes López, "A Bilinear Map Pairing Based Authentication Scheme for Smart Grid Communications: PAuth" *IEEE Access*, Vol. 7, pp. 22633-22643, 2019.
- [7] Hakan Kilinc, Tugrul Yanik, "A Survey of SIP Authentication and Key Agreement Schemes" *IEEE Communications Surveys & Tutorials*, Vol. 16, Issue: 2, pp. 1005 - 1023, 2014.
- [8] Liping Zhang, Lanchao Zhao, Shuijun Yin, Chi-Hung Chi, Ran Liu, Yixin Zhang, "A lightweight authentication scheme with privacy protection for smart grid communications" *Future Generation Computer Systems*, Vol. 100, pp. 770 - 778, 2019.
- [9] Jia-Lun Tsai, Nai-Wei Lo, "Secure Anonymous Key Distribution Scheme for Smart Grid" *IEEE TRANSACTIONS ON SMART GRID*, Vol. 7, NO. 2, pp. 906 - 914, 2016.
- [10] R. Canetti and H. Krawczyk, "Analysis of key-exchange protocols and their use for building secure channels" in *Advances in Cryptology-EUROCRYPT*, Austria, pp. 453-474, 2001.
- [11] Kh. Mahmood, Sh. Ashraf Chaudhry, H. Naqvi, S. Kumari, Xi. Li, Ku. Sangaiah, "An elliptic curve cryptography based lightweight authentication scheme for smart grid communication" *Future Generation Computer Systems*, Vol. 81, pp. 557-565, 2018.
- [12] D. Abbasinezhad-Mood and M. Nikooghadam, "Design and hardware implementation of a security enhanced elliptic curve cryptography based lightweight authentication scheme for smart grid communications" *Future Generation Computer Systems*, Vol. 84, pp. 47-57, 2018.
- [13] Pardeep Kumar, A. Gurtov, M. Sain, A. Martin, P. Hoai, "Lightweight Authentication and Key Agreement for Smart Metering in Smart Energy Networks" *IEEE Transactions on Smart Grid*, Vol. 10, and Issue: 4, pp. 4349 - 4359, 2018.
- [14] Neeraj Kumar, Ga. Singh Aujla, A. Kumar Das, M. Conti, "ECCAuth: Secure Authentication Protocol for Demand Reponse Management in Smart Grid Systems" *IEEE Transactions on Industrial Informatics*, (Early Access) 13 June 2019
- [15] Sahil Garg, Kuljeet Kaur, Georges Kaddoum, François Gagnon, Syed Hassan Ahmed, Dushantha Nalin K. Jayakody, "A Lightweight and Secure Authentication Mechanism for Smart Metering Infrastructure" *publication in the IEEE Global Communications Conference, Waikoloa: 2019*.
- [16] Alireza Esfahani; Georgios Mantas; Rainer Matischek; Firooz. Saghezchi; Jonathan Rodriguez, "A Lightweight Authentication Mechanism for M2M Communications in Industrial IoT Environment" *IEEE Internet of Things Journal*, Vol. 6, and Issue: 1, pp. 288 - 296, 2017.
- [17] Xiong Li, Maged Hamada Ibrahim, Saru Kumari, Arun Kumar Sangaiah, Vidushi Gupta, Kim-Kwang, "Anonymous mutual authentication and key agreement scheme for wearable sensors in wireless body area networks" *Computer Networks*, Vol. 129, Part 2, pp. 429 - 443, 2017.

۶- اعمال حمله منع سرویس به طرح نراج کومار و همکاران

همان طور که در بخش ۱ اشاره کردیم، این طرح در گام دوم هیچ گونه بررسی رو صحت و سقم پیام های دریافتی انجام نمی دهد و مهاجم یا مهاجمان می توانند با ارسال پیام های نادرست، بار محاسباتی زیادی را به ارائه دهنده خدمات اعمال کرده و موجب کند شدن شبکه و عدم خدمت رسانی صحیح به افزاره های مجاز گردند. در ادامه شرح دقیق حمله توضیح داده می شود.

مهاجم مطابق با فاز احراز اصالت در شکل ۲ پیام های تصادفی را تحت عناوین U_i و C_i تولید کرده و مهر زمانی هماهنگ با آن ها را تحت عنوان T_1 قرار داده و برای ارائه دهنده خدمات مدنظر ارسال می کند. در طرف دوم ارائه دهنده خدمات به محض دریافت پیام ها و بدون بررسی صحت پیام های دریافتی و تنها با چک کردن مهر زمانی، شروع به محاسبه D_j ، V_j و W_j کرده و کلید SK_{ij}^* را می سازد و همچنین پیام های SKV_{ij}^* و Z_j را نیز محاسبه کرده و به همراه پیام های W_j ، V_j و مهر زمانی T_2 برای مهاجم ارسال می کند. در ادامه روند کار پروتکل، مطابق با زیر بخش ۴-۵، ارائه دهنده خدمات در نهایت در گام پنجم با بررسی تساوی $SKV_{ij}^{**} = SKV_{ij}^*$ و عدم برقراری آن، متوجه نادرست بودن پیام ها خواهد شد؛ ولی این عدم بررسی صحت پیام ها در گام دوم موجب اعمال بار محاسباتی زیاد و حتی موجب اعمال حمله منع سرویس توسط مهاجمان خواهد شد. در بسیاری از پروتکل های ارائه شده، طراحی به گونه ای است که در گام دوم، صحت و سقم پیام های دریافتی با چک کردن عباراتی که درستی پیام ها را احراز می کند بررسی می شود تا جلوی اشغال شبکه توسط پیام های بی معنی که توسط مهاجم یا مهاجمان ارسال می شوند گرفته شود؛ و یا حتی سعی می شود در همان گام دوم عمل احراز اصالت طرف مقابل صورت پذیرد. به عنوان مثال می توان به طرح های [5,6]، [8,9]، [11,12]، [15-17] و همچنین طرح پاردپ کومار و همکاران که در ابتدای مقاله بررسی شد اشاره کرد.

۷- نتیجه گیری

در این مقاله پروتکل های پاردپ کومار و نراج کومار مورد بررسی قرار گرفتند و با بررسی امنیت پروتکل ها، نشان داده شد طرح پاردپ کومار در برابر حمله ردگیری افزاره ها و برقراری صحیح گمنامی و طرح نراج کومار در برابر حمله منع سرویس آسیب پذیر هستند. برای بهبود هر کدام از طرح ها پیشنهاد های گوناگونی را می توان مطرح کرد که در مقاله های آینده به نحوه بهبود ضعف های مطرح شده و ارائه پروتکلی امن و سبک وزن، مناسب برای پیاده سازی در بستر شبکه هوشمند انرژی خواهیم پرداخت.